

杜飞雁 林钦 贾晓平 杨圣云 马胜伟 陈海刚 李纯厚. 大亚湾西北部春季大型底栖动物群落特征. 生态学报 2011, 31(23): 7075-7085.

Du F Y , Lin Q , Jia X P , Yang S Y , Ma S W , Chen H G , Li C H. Analysis on the characteristics of macrobenthos community in the North-west Daya Bay of South China Bay in spring. Acta Ecologica Sinica 2011, 31(23): 7075-7085.

大亚湾西北部春季大型底栖动物群落特征

杜飞雁^{1,2} 林钦^{1,*} 贾晓平¹ 杨圣云² 马胜伟¹ 陈海刚¹ 李纯厚¹

(1. 中国水产科学研究院南海水产研究所 广州 510300; 2. 厦门大学海洋与环境学院博士后流动站 厦门 361005)

摘要:利用2008年春季在大亚湾西北部海域开展的12个测站的大型底栖动物调查资料,对该海域大型底栖动物的群落特征进行分析。结果表明该海域内大型底栖动物优势种由粗帝汶蛤(*Timoclea scabra*)、波纹巴非蛤(*Paphia undulata*)、上野螺羸蜚(*Corophium uenoi*)、方背鳞虫(*Lepidonotus squamatus*)、刀明櫻蛤(*Moerella culter*)和角海蛹(*Ophelia acuminata*)等6种组成;可划分为4个群落 群落Ⅱ和群落Ⅰ为主体群落 群落Ⅲ和群落Ⅳ分布区较小 群落间差异较大。大型底栖动物数量上以个体较大的软体动物占优,但群落的组成则以多毛类和甲壳类为主,其组成情况基本上反映了群落的特征。群落Ⅰ以多毛类-甲壳类为表征 群落Ⅱ则以甲壳类-多毛类-软体动物为表征。栖息环境的差异,是造成群落间差异的主要原因;群落多样性水平呈群落Ⅲ>群落Ⅱ>群落Ⅰ>群落Ⅳ,沉积环境的污染状况和人为扰动是影响多样性水平的主要因素;群落整体的稳定性较好,未受到明显的扰动,但分布于航道区域和渔业生产作业区的群落Ⅳ和群落Ⅲ,在航道建设、疏浚和渔业生产的影响下,群落受到一定程度的扰动,稳定性较弱。

关键词:大型底栖动物; 群落特征; 春季; 大亚湾西北部

Analysis on the characteristics of macrobenthos community in the North-west Daya Bay of South China Bay in spring

DU Feiyang^{1,2}, LIN Qin^{1,*}, JIA Xiaoping¹, YANG Shengyun², MA Shengwei¹, CHEN Haigang¹, LI Chunhou¹

1 South China Sea Fisheries Research Institute, Chinese Academy of Fishery Sciences, Guangzhou 510300, China

2 Post-doctor Research Station, College of Oceanography and Environmental Science, Xiamen University, Xiamen 361005, China

Abstract: Based on the data collected from 12 research stations in the North-west Daya Bay, South China Sea in spring 2008, the characteristics of macrobenthos community were examined. The results showed that the dominant macrobenthic species were *Timoclea scabra*, *Paphia undulata*, *Corophium uenoi*, *Lepidonotus squamatus*, *Moerella culter* and *Ophelia acuminata*. The macrobenthos community could be divided into four groups with notable differences. Group I and II were the dominant groups, while the distribution areas of Groups III and IV were relatively small. Overall, molluscs was dominant in quantity in the macrobenthos community but the community was mainly composed of Annelida and Arthropoda, reflecting the characteristics of the community. The dominant macrobenthic species of group I were *Timoclea scabra*, *Nephrys oligobranchia*, *Theora lata*, *Sigambra hanaokai*, *Glycinde gurjanvae*, *Prionospio malmgreni*, *Timoclea scabra*, *Turritella bacillum*, *Corophium tridentium*, *Phyllodocidae* und., *Nectoneanthes alatopalpis*, *Ericthonius pugnax*, *Pseudopythina* sp. and *Stylochus ijimai*. Species belonging to this group distributed in the nearshore area of Aotou Harbor and Nanhui Petrochemicals Basement Group II assemblage includes *Paphia undulata*, *Timoclea scabra*, *Corophium uenoi*, *Prionospio malmgreni*, *Sigambra hanaokai*, *Ophelia acuminata*, *Mediomastus* sp., *Nephrys oligobranchia*, *Moerella culter*, *Corophium lamellatum*, *Paraprionospio pinnata* and *Prionospio pulchra*. These species distributed mainly around the

基金项目:中央级公益性科研院所基本科研业务费专项基金(2007ZD08, 2007TS08, 2010YD10)

收稿日期:2010-10-09; 修订日期:2011-04-11

* 通讯作者 Corresponding author. E-mail: linqinscs@21cn.com.

Chunzhou Island where suspended long line culture of oyster was common. The discriminating species for Group I were *S. hanaokai*, *N. soligobranchia*, *P. malmgreni*, *N. alatopalpis* and *E. pugnax* while group II were *C. uenoi*, *P. malmgreni*, *S. hanaokai*, *N. oligobranchia*, *T. scabra*, *M. sp.*, *Phyllodocidae* und., *P. pinnata*, *O. acuminata*, *C. lamellatum*, *M. culter* and *Chaetozone* sp. Group III assemblage were mainly found in the west side of Mabianzhou, where it was a fishing ground for Arthropoda in Daya Bay. Group IV was distributed in area where main shipping routes passed through, in the east side of area of Group II and in between the area of Group I and III. For each community group, while group II Group I was dominated by Annelida and Arthropoda while Group II was dominated by arthropoda, annelida and mollusca; such difference is mainly because of the difference in habitat conditions. Diversity of macrobenthos community was highest in Group III, followed by Group II, Group I and then Group IV. Poor habitat condition caused by pollution, sedimentation and other human disturbances were the main reasons for the differences in diversity between groups. In general, macrobenthos community in the North-west Daya Bay of South China Sea was stable in spring. However, community structure of Groups IV and III, which distributed in the main navigation route and fishing grounds, were less stable; suggesting the disturbances from maintenance of navigation channel and fishing activities might have reduced community stability.

Key Words: 北部湾; 春季; 宏量底栖生物; 社区特征

位于我国南海北部大陆架的大亚湾,东邻红海湾,西接珠江口,是广东省内较大海湾之一。大亚湾岸线曲折、湾内岛屿众多,生境复杂、多样,有丰富的生物资源和极高的生物多样性,1983年成立省级水产资源自然保护区。因其独特的地理位置和丰富的资源,在20世纪90年代后,大亚湾经济也进入了一个快速发展的时期。因过渡人为扰动,目前大亚湾生态系统正经历着快速退化的进程^[1-2]。而人为的开发和扰动活动,主要集中在大亚湾湾顶附近区域。大亚湾西北部西侧是大亚湾最大的港口—惠州港,其年吞吐能力达1600万t以上,是国家一类口岸。其东北侧是大亚湾(国家级)经济技术开发区,辖陆地面积265km²,海域面积488km²,该区域内有亚洲最大的石化投资项目—南海石化项目。西北部纯州周围海域有大面积的太平洋牡蛎养殖区。栖息于底质中的底栖生物,因其活动能力弱,生活相对稳定、对海洋环境反应敏感,长期以来一直作为监测人为扰动造成对生态系统变化的主要研究对象^[3]。经研究表明,湾顶区域大型底栖动物的群落稳定状况最差,处于明显的扰动状态之中^[4]。而湾顶附近区域人类活动的扰动强度、类型均有所差异,通过对湾顶西北部大型底栖动物群落特征的研究,以深入了解不同类型人类活动对海洋生态系统的扰动情况,也可为该区域大型底栖动物群落的变化研究提供可靠的背景资料。

1 材料与方法

1.1 站位设置及取样方法

2008年3月12日在大亚湾西北部海域设置12个测站对大型底栖动物进行了定量采样,站位分布见图1,各调查站位地理坐标见表1。采样使用取样面积为0.1m²的抓斗式采泥器,每站取样2次,合并为1个样品,用0.5mm孔径的网筛分选样品。样品的处理、保存、计数等均按《海洋调查规范》^[5]操作。

表1 调查站位地理坐标

Table 1 Geographical positions of the sampling stations

| 站号 | Station | 经度 | Longitude | 纬度 | Latitude | 站号 | Station | 经度 | Longitude | 纬度 | Latitude |
|-----|---------|----------------|-----------|---------------|----------|-----|---------|----------------|-----------|---------------|----------|
| S1 | | 114°32'56.01"E | | 22°41'3.27"N | | S2 | | 114°34'18.02"E | | 22°43'23.18"N | |
| S3 | | 114°34'46.35"E | | 22°42'36.95"N | | S4 | | 114°34'51.35"E | | 22°41'47.32"N | |
| S5 | | 114°34'35.70"E | | 22°40'52.71"N | | S6 | | 114°35'33.31"E | | 22°43'7.74"N | |
| S7 | | 114°36'7.55"E | | 22°42'25.91"N | | S8 | | 114°36'10.70"E | | 22°41'45.19"N | |
| S9 | | 114°36'11.96"E | | 22°40'53.40"N | | S10 | | 114°37'28.90"E | | 22°44'4.61"N | |
| S11 | | 114°38'1.44"E | | 22°40'13.74"N | | S12 | | 114°39'55.90"E | | 22°42'15.32"N | |

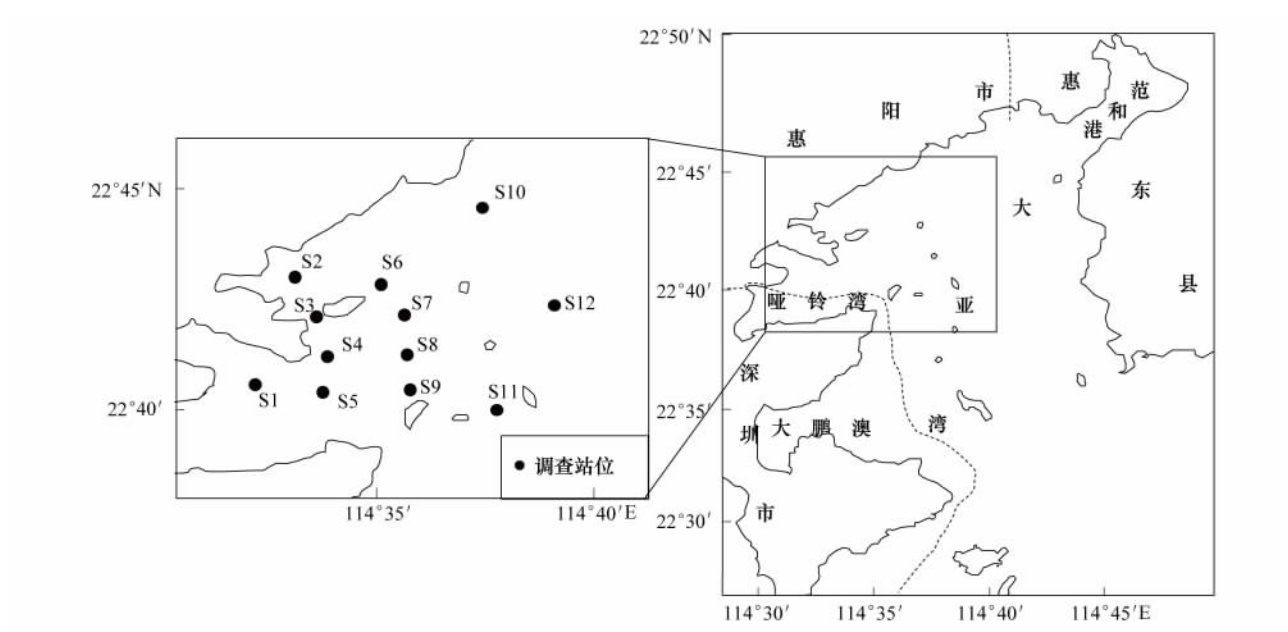


图1 调查站位设置示意图

Fig. 1 Sketch map of sampling stations

1.2 数据统计及分析

大型底栖动物群落结构的多变量分析采用非参数多变量群落结构分析方法,为减少机会种对群落结构的干扰,首先根据丰度四次方根转换计算的 Bray-Curtis 相似性矩阵,应用组间平均聚类分析和非度量多维标度排序 MDS(Non-metric multi-dimensional scaling) 分析来研究群落结构^[6-9]。SIMPER(Species contributions to similarity) 分析用于分析造成各组内群落结构相似的典型种以及造成不同组之间群落结构差异的分歧种。通过丰度生物量法 ABC 曲线(Abundance-Biomass Comparison curves) 对群落的稳定性和受扰动状况进行分析。

采用相对重要性指数确定群落中的优势种, 相对重要性指数: $IRI = (W + N) \times F$; W 为某一种的生物量占大型底栖动物总生物量的百分比; N 为该种的丰度占大型底栖动物总丰度的百分比; F 为该种的出现频率。

采用 Margalef 种类丰富度指数 R 、Shannon-Wiener 指数 H' 以及 Pielou 均匀度 J 来研究大型底栖生物群落多样性。Margalef 种类丰富度指数 R 计算式为: $D = (S - 1) / \ln N$; Shannon-Wiener 指数: $H' = - \sum_{i=1}^S P_i \log_2 P_i$; Pielou 均匀度: $J = H' / \log_2 S$; 式中 S 为样品中的种类总数, P_i 为第 i 种的个体数(n_i)与总个体数(N)的比值(n_i/N)。

2 结果

2.1 群落组成

春季大亚湾西北部海域共采集到底栖生物 117 种, 其中, 多毛类 62 种, 软体动物 13 种, 节肢动物 31 种, 其它动物 11 种, 分别占总种数的 53%、11%、26% 和 9%。平均生物量为 122.77 g/m², 平均丰度为 783 个/m²。软体动物占总生物量比例最高, 其次为多毛类动物。软体动物的生物量为 106.11 g/m², 占总生物量的 86.4%; 多毛类动物的生物量为 10.48 g/m², 占 7.5%; 节肢动物生物量为 4.86 g/m², 占 1.8%; 而节肢动物和多毛类动物在总丰度中所占比例较高, 其数量分别为 293 个/m²、292 个/m², 占总丰度的 37.4%、37.2%, 软体动物平均丰度为 182 个/m², 占 23.2%。棘皮动物等其它类群所占比例最低, 见表 2。

2.2 群落划分

聚类分析和 MDS 分析表明, 春季大亚湾西北部海域大型底栖动物可划分为 4 个群落。S1 和 S10 站组成群落 I, S2、S3、S4、S5、S6、S7、S8 和 S9 站组成群落 II, S11 站形成群落 III, S12 站形成群落 IV。MDS 分析的 stress = 0.1, 表明该结果较好地反映了样本间的相似关系(图 2)。One-way ANOSIM 检验表明, 各群落间的差

异极为显著($R=0.953$, $P=0.001$)。

表2 底栖生物各类群的数量

Table 2 The abundance and biomass of macrobenthos in North-west Daya Bay

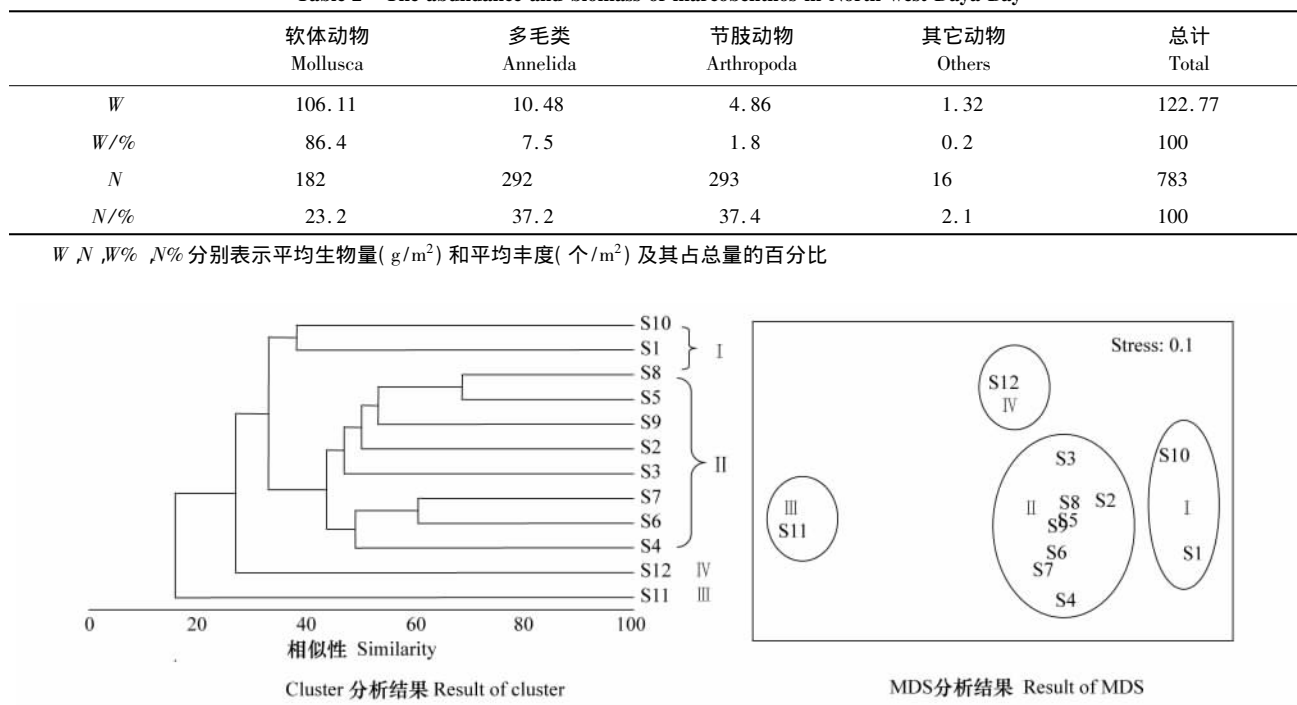


图2 大亚湾西北部大型底栖动物群落结构的聚类分析和序列分析

Fig. 2 Cluster and MDS ordination of macrobenthos in North-west of Daya Bay

2.3 空间分布

群落I由分散在澳头港和南海石化基地以南的2处近岸区域组成。群落II为主体群落,分布于湾顶西北部围绕着纯州的大部分水域内。群落IV分布于群落II东侧区域内,群落III分布于马鞭州西侧海域内,见图3。

2.4 优势种和特征种组成

2.4.1 全海域优势种组成

春季,大亚湾西北部海域大型底栖生物优势种由粗帝汶蛤、波纹巴非蛤、上野螺羸蜚、方北鳞虫、刀明樱蛤和角海蛹等6种组成($IRI>1$ 为划分标准),见表3。粗帝汶蛤($IRI=36.5$)为第一优势种,其出现频率高达83%,在总生物量和丰度中所占比重分别为25.66%和18.12%;波纹巴非蛤在总生物量和丰度中所占比重分别为54.177%和1.73%,为第二优势种;上野螺羸蜚在75%的测站中均有出现,其数量占总生物量和丰度的0.12%和18.12%,为第三优势种,其它优势种在总量中所占比例相对较低。

2.4.2 群落优势种组成

因群落III和群落IV均由一个站位的底栖生物构成,无法进行优势种和特征种的分析,以下仅对群落I和群落II进行优势种和特征种组成分析。

如表4所示,群落的优势种组成远较全海域复杂,优势种组成之间也存在较大的差异。群落I有14个优势种,除波纹巴非蛤和粗帝汶蛤是全海域的优势种外,其它均为群落I的独有优势种;群落II有12种优势种,

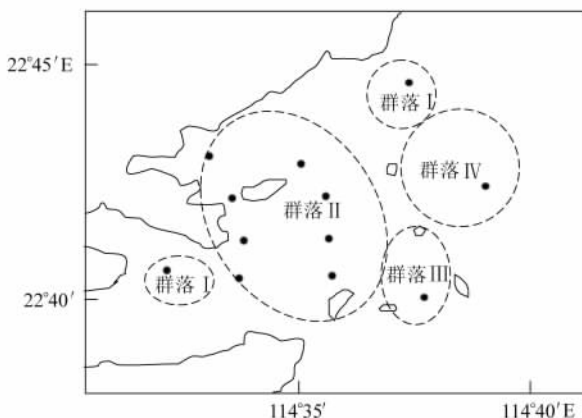


图3 群落空间分布示意图

Fig. 3 The spatial distribution of macrobenthic groups

其中 5 种与全海域的优势种组成相同。群落 I 与群落 II 共同优势种仅有 5 种, 表明群落间的差异较为明显。虽然群落 I 与群落 II 的第一优势种均为软体动物波纹巴非蛤, 但优势种中均以多毛类占优。群落 I 的优势种组成中有寡鳃卷吻沙蚕、花冈钩毛虫和寡节甘吻沙蚕等 6 种多毛类, 群落 II 有丝鳃稚齿虫、花冈钩毛虫和角海蛹等 7 种多毛类, 但群落 II 中多毛类的优势地位低于群落 I。

表 3 底栖生物优势种组成

Table 3 The dominating macrobenthic species in North-west Daya Bay in spring

| 种类 Species | IRI | W | W/% | N | N/% | F |
|-----------------------------------|------|-------|-------|-------|-------|----|
| 粗帝汶蛤 <i>Timoclea scabra</i> | 36.5 | 31.50 | 25.66 | 143.8 | 18.12 | 83 |
| 波纹巴非蛤 <i>Paphia undulata</i> | 23.2 | 66.50 | 54.17 | 13.8 | 1.73 | 42 |
| 上野螺羸蜚 <i>Corophium uenoi</i> | 13.7 | 0.12 | 0.10 | 143.8 | 18.12 | 75 |
| 方背鳞虫 <i>Lepidonotus squamatus</i> | 1.6 | 0.01 | 0.01 | 0.8 | 9.66 | 17 |
| 刀明樱蛤 <i>Moerella culter</i> | 1.4 | 2.43 | 1.98 | 7.1 | 0.89 | 50 |
| 角海蛹 <i>Ophelia acuminata</i> | 1.4 | 2.89 | 2.35 | 8.8 | 0.05 | 58 |

W, N, W/%, N/% 分别表示平均生物量(g/m²) 和平均丰度(个/m²) 及其占总量的百分比, F 表示出现频率

表 4 群落优势种组成

Table 4 The dominating macrobenthic species in different groups

| 群落 I Group I | | 群落 II Group II | |
|---|------|-------------------------------------|------|
| 种类 Species | IRI | 种类 Species | IRI |
| 波纹巴非蛤 <i>Paphia undulata</i> | 32.1 | 波纹巴非蛤 <i>Paphia undulata</i> | 31.9 |
| 寡鳃卷吻沙蚕 <i>Nephtys oligobranchia</i> | 16.8 | 粗帝汶蛤 <i>Timoclea scabra</i> | 24.6 |
| 侧底理蛤 <i>Theora lata</i> | 16.1 | 上野螺羸蜚 <i>Corophium uenoi</i> | 22.1 |
| 花冈钩毛虫 <i>Sigambra hanaokai</i> | 15.1 | 丝鳃稚齿虫 <i>Prionospio malmgreni</i> | 13.3 |
| 寡节甘吻沙蚕 <i>Glycinde gurjanvae</i> | 6.8 | 花冈钩毛虫 <i>Sigambra hanaokai</i> | 11.6 |
| 丝鳃稚齿虫 <i>Prionospio malmgreni</i> | 4.8 | 角海蛹 <i>Ophelia acuminata</i> | 3.8 |
| 粗帝汶蛤 <i>Timoclea scabra</i> | 4.8 | 中蚓虫 <i>Mediomastus</i> sp. | 3.4 |
| 棒锥螺 <i>Turritella bacillum</i> | 4.7 | 寡鳃卷吻沙蚕 <i>Nephtys oligobranchia</i> | 3.3 |
| 三齿螺羸蜚 <i>Corophium tridentium</i> | 4.0 | 刀明樱蛤 <i>Moerella culter</i> | 2.2 |
| <i>Phyllodocidae</i> und. | 3.8 | 薄片螺羸蜚 <i>Corophium lamellatum</i> | 1.5 |
| 锤角全刺沙蚕 <i>Nectoneanthes alatopalpis</i> | 2.9 | 奇异稚齿虫 <i>Parapronospio pinnata</i> | 1.3 |
| 好斗埃蜚 <i>Erithonius pugnax</i> | 2.4 | 稚齿虫 <i>Prionospio pulchra</i> | 1.1 |
| 寄生蛤 <i>Pseudopythina</i> sp. | 2.2 | | |
| 今岛柄涡虫 <i>Stylochus ijimai</i> | 1.6 | | |

2.4.3 群落特征种组成

群落的特征种组成和优势种组成存在明显的差异(表 5)。群落 I 的 14 种优势种中仅有花冈钩毛虫、寡鳃卷吻沙蚕、丝鳃稚齿虫、锤角全刺沙蚕和好斗埃蜚 5 种是能表征群落特征的特征种。群落 II 的特征种组成较为复杂, 有上野螺羸蜚、丝鳃稚齿虫、花冈钩毛虫等 12 种组成, 有 9 种也是群落的优势种。群落 II 的优势种和特征种组成中, 各有 3 个种类有所差异; 群落中优势地位较强的种类为软体动物波纹巴非蛤, 而群落的特征种基本上为多毛类和甲壳类。表明大亚湾西北部大型底栖动物数量上以个体较大的软体动物占优, 但群落的组成则以多毛类和甲壳类为主, 其组成情况基本上反映了群落的特征。

群落 I 和群落 II 种类组成的不相似性达到 82.90%, 第一特征种也完全不同。群落 I 的第一特征种为多毛类花冈钩毛虫和寡鳃卷吻沙蚕, 而群落 II 的第一特征种则为甲壳类上野螺羸蜚。从特征种的组成上划分, 群落 I 是以多毛类-甲壳类为表征, 群落 II 则以甲壳类-多毛类-软体动物为表征。

表5 群落特征种组成

Table 5 The discriminating macrobenthic species in different groups

| 群落 I Group I | | | 群落 II Group II | | |
|---------------------------------|------------------|--------------------------------|------------------|--|--|
| 种类 Species | 贡献率 Contribute/% | 种类 Species | 贡献率 Contribute/% | | |
| 花冈钩毛虫 <i>S. hanaokai</i> | 27.03 | 上野螺羸蜚 <i>C. uenoi</i> | 23.38 | | |
| 寡鳃卷吻沙蚕 <i>N. soligobranchia</i> | 27.03 | 丝鳃稚齿虫 <i>P. malmgreni</i> | 18.19 | | |
| 丝鳃稚齿虫 <i>P. malmgreni</i> | 13.51 | 花冈钩毛虫 <i>S. hanaokai</i> | 17.97 | | |
| 锤角全刺沙蚕 <i>N. alatopalpis</i> | 13.51 | 寡鳃卷吻沙蚕 <i>N. oligobranchia</i> | 7.84 | | |
| 好斗埃蜚 <i>E. pugnax</i> | 13.51 | 粗帝汶蛤 <i>T. scabra</i> | 6.50 | | |
| | | 中蚓虫 <i>M. sp.</i> | 5.47 | | |
| | | <i>Phyllodocidae</i> und. | 2.52 | | |
| | | 奇异稚齿虫 <i>P. pinnata</i> | 2.46 | | |
| | | 角海蠋 <i>O. acuminata</i> | 2.24 | | |
| | | 薄片螺羸蜚 <i>C. lamellatum</i> | 1.54 | | |
| | | 刀明櫻蛤 <i>M. cultor</i> | 1.44 | | |
| | | 刚鳃虫 <i>Chaetozone</i> sp. | 1.32 | | |

2.5 多样性特征

2.5.1 均匀度

大亚湾西北部海域大型底栖动物均匀度为0.68,变化范围较大(0.16—0.98)。各群落中,以群落I均匀度最高(0.89),其它依次为群落III(0.79)、群落II(0.68)和群落IV(0.16)。

表6 大型底栖动物多样性指数

Table 6 The diversity indices of macrobenthos in North-west Daya Bay

| | 站位 Station | 均匀度(<i>J</i>) Evenness index | 丰富度(<i>D</i>) Richness index | 多样性指数(<i>H</i>) Shannon-wiener index |
|------------------|------------|--------------------------------|--------------------------------|--|
| 群落 I Group I | S1 | 0.80 | 2.2 | 2.01 |
| | S10 | 0.98 | 2.4 | 2.34 |
| | 均值 | 0.89 | 2.3 | 2.18 |
| 群落 II Group II | S2 | 0.58 | 2.1 | 1.56 |
| | S3 | 0.82 | 3.1 | 2.37 |
| | S4 | 0.67 | 5.6 | 2.46 |
| | S5 | 0.72 | 3.4 | 2.28 |
| | S6 | 0.62 | 4.0 | 2.07 |
| | S7 | 0.56 | 4.0 | 1.89 |
| | S8 | 0.61 | 3.5 | 1.99 |
| | S9 | 0.87 | 5.0 | 3.00 |
| | 均值 | 0.68 | 3.8 | 2.20 |
| 群落 III Group III | S11 | 0.79 | 6.0 | 2.98 |
| 群落 IV Group IV | S12 | 0.16 | 1.2 | 0.35 |
| 全海域均值 Average | | 0.68 | 3.5 | 2.11 |

2.5.2 物种丰富度

大亚湾西北部海域大型底栖动物物种丰富度指数为3.5,变化范围较大(1.2—5.6)。各群落中,以群落III丰富度最高(6.0),其它依次为群落II(3.8)、群落I(2.3)和群落IV(1.2)。

2.5.3 多样性指数

大亚湾西北部海域大型底栖动物多样性指数为2.11,变化范围较大(0.35—3.00)。各群落中,以群落III多样性指数最高(2.98),其它依次为群落II(2.20)、群落I(2.18)和群落IV(0.35)。

2.5.4 多样性水平

各群落的种类优势度曲线的变化趋势有所差异,群落IV的优势度曲线明显高于其它群落,第一种粗帝汶蛤的丰度比例就超过了90%;群落I前13种的累积丰度超过90%,其中侧底理蛤所占比例为21.3%,其它种类为寡鳃卷吻沙蚕、花冈钩毛虫、寡节甘吻沙蚕、三齿螺羸蜚、丝鳃稚齿虫等,所占比例均低于20.0%;群落II前21种的累积丰度超过90%,其中上野螺羸蜚所占比例为25.1%。其它种类为丝鳃稚齿虫、花冈钩毛虫、粗帝汶蛤、三齿螺羸蜚和中蚓虫等,所占比例均低于15.0%;群落III前25种的累积丰度超过90%,其中日本长尾虫和好斗埃蜚所占比例较为接近,分别为17.8%和17.4%,两种占总丰度的35.2%。第三位的是夏威夷亮钩虾,占总丰度的11.3%。其它种类为短刀偏文昌鱼、博氏双眼钩虾、粗帝汶蛤、畸形鎰肢虫和瘤突地钩虾等,所占比例均低于5%。

通过种类的k-优势度曲线的分布/图形分析,进行多样性水平的分析与评价。种类的k-优势度曲线(依种类排序的丰度累积百分比图)是用来检验种类丰度组成中包含的优势种类的多少^[10],可用于物种多样性水平的评价^[11]。图中x轴是种类依丰度的重要性(对数)排序,y轴是丰度优势度的累积百分比。在图中最下方的曲线代表多样性水平最高的群落,最上方的曲线则代表多样性最低的群落。如图4所示4个群落中群落III的k-优势度曲线始终位于最下方,群落中累积丰度达到90%所包含的种类数最多,达到25种,且各种所占比例差异较小。群落IV中仅粗帝汶蛤一种所占比例就高达92.1%,而其它种类所占比例均低于2.0%。因此群落III的多样性水平最高,群落IV的多样性水平最低。群落II与群落I的多样性水平与群落III较为接近,分别居第二位和第三位。

2.6 群落稳定性

如图5所示4个群落的丰度生物量的ABC曲线均未出现交叉、翻转和重叠的现象,丰度的优势度曲线始终位于生物量优势度曲线的下方,表明大亚湾西北部大型底栖动物群落未受到明显的扰动,生物群落的稳定较好。

通过对比4个群落ABC曲线中丰度和生物量曲线之间的距离,群落I和群落II的稳定性最好。而群落III和群落IV两条曲线之间的距离较近,表明群落III和群落IV受到一定程度的扰动,群落稳定性较群落I和群落II差,尤其以群落IV的稳定性最弱。

3 讨论

3.1 群落差异

优势种和特征种的组成差异,反映出群落I与群落II之间存在明显的差别。以现场实测的水环境和沉积环境各因子与底栖生物数量分布之间的关系进行分析,表明底栖生物数量分布与海水盐度、海水溶解氧、悬浮物、pH、营养盐、重金属和沉积物总石油烃、有机质、硫化物之间没有显著的相关性,但与沉积物锌含量呈显著负相关。沉积物各因子与底栖生物丰度的相似性矩阵的相关性分析表明,底栖生物与沉积环境之间存在极为显著的相关性($\rho=0.447 P=0.002$)。说明大亚湾西北部大型底栖动物的分布与具体环境因子之间的相关性不明显,但受沉积环境各因子的综合影响极为显著。通过沉积环境各因子的主成分分析表明,各因子中硫化物、Cu和Zn的含量对底栖生物的影响较其它因子明显。

从分布的区域来看,群落I分布在水深较深的区域内,平均水深为6.8m;群落II基本上分布于近岸水域,

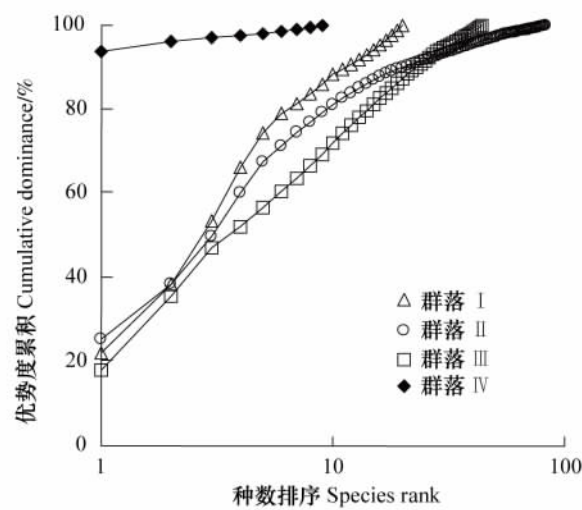


图4 大型底栖动物丰度的k-优势度曲线
Fig.4 K-dominance curves of macrobenthos abundance

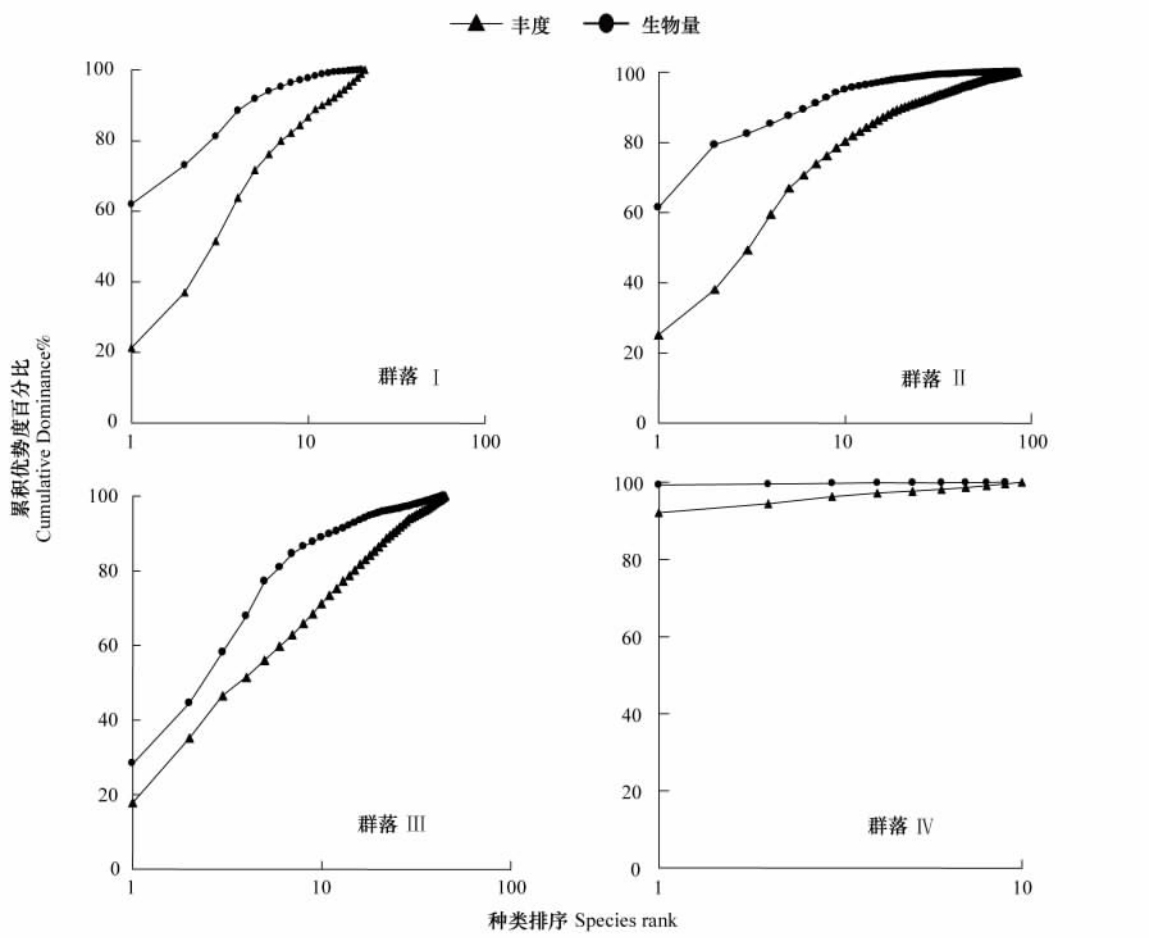


图5 大亚湾西北部大型底栖动物ABC曲线

Fig. 5 ABC curves of macrobenthic groups in North-west Daya Bay

平均水深4.6m,距河口最近S2站的水深仅有1.0m,说明水深是对大型底栖动物群落结构影响较大的因子之一^[6,12]。从栖息环境来看,群落Ⅱ所在区域有淡水汇入,分布区域内有大面积的太平洋牡蛎吊养。群落Ⅱ分布区域是大亚湾湾内水交换能力最弱的区域之一,牡蛎吊养产生大量的生物沉降外,还会阻碍水交换,加速淡水带来的大量悬浮物质在该区域内的沉降作用。生物沉降和物理沉降作用,会使该区域沉积物有机物的含量增加及营养水平的提高分布,而有机物和营养盐也是影响大型底栖动物群落的分布的因素之一^[6,9]。群落Ⅱ所在区域内沉积物有机质和硫化物的含量(1.45%、 278.4×10^{-6}),水体悬浮物和活性磷酸盐的含量(33.2 mg/L、0.025 mg/L)均高于群落Ⅰ的分布区(1.06%、 149.8×10^{-6} 、27.7 mg/L、0.018 mg/L)。因此,淡水汇入和牡蛎吊养造成栖息环境的差异,也是造成群落间差异的因素之一。

3.2 群落多样性水平

标志沉积物污染状况的重金属含量对大型底栖动物多样性有较大的影响,沉积物中重金属含量高的区域大型底栖动物多样性低^[13]。通过对4个群落所在区域沉积物中Cu、Pb、Zn、Cr、Hg和As等6种重金属含量的标准值进行比较,各群落所在区域含量顺序:群落Ⅲ(0.13)<群落Ⅳ(0.35)<群落Ⅱ(0.46)<群落Ⅰ(0.49)。除群落Ⅳ所在区域重金属含量较低,但群落多样性水平最低外,各群落所在区域沉积物重金属含量高低基本上反应了大型底栖动物多样性水平差别。表明群落Ⅳ除重金属的影响外,还有其它的影响因素。群落Ⅳ所在区域有南海石化的航道通过,航道建设和疏浚工程破坏和改变了原有的底质环境,短期内对大型底栖动物群落的直接影响表现为种类减少、丰度及生物量的降低^[14]。底质环境的稳定需要较长的时间,在这个过程中,生物多样性会出现明显下降的现象。因此,航道建设和疏浚工程带来的底质环境扰动和改变,可能是造成群

落Ⅳ大型底栖动物低多样性水平的主要因素。

3.3 群落稳定性

大亚湾西北部大型底栖动物群落的稳定性较好。群落的ABC曲线反映出各群落均未受到明显的扰动,但对比各群落丰度和生物量曲线之间的距离,可以发现群落Ⅲ和群落Ⅳ丰度和生物量曲线之间距离较近,表明这两个群落还是受到一定程度的扰动。群落Ⅰ分布于澳头港和南海石化码头外的海域内,虽然该区域附近建设有码头,海域内有船只频率往来,但海域内基本上没有大的航道通过、没有渔业生产活动开展,表现为人为扰动影响较小。因此,群落Ⅰ具有良好的稳定性;群落Ⅱ所在海域内有大面积的牡蛎吊养生产,沿岸也有围填海工程建设开展。虽然牡蛎吊养生产带来生物沉降和物理沉降作用,使海域内底质环境的有机质含量和营养水平提高,但该海域内牡蛎吊养生产活动开展的时间较短,而且吊养的牡蛎在自然状态下生长,没有人为投入饵料,对底质环境的扰动和影响远较网箱养殖小。此外,群落Ⅱ包含种类较多,优势种和特征种的组成较为复杂,群落也具有较高的多样性水平。复杂的种类组成和较高的物种多样性有助于提高生物群落对外来干扰的抵抗能力,因此群落也具有良好的稳定性;群落Ⅲ所在区域是大亚湾海域内甲壳类资源较为丰富的海域,也是拖虾船只传统的作业场所。底拖网渔业生产活动虽然对底质环境的扰动较大,但其对海域底栖环境的“耕种”作用,能使大型底栖动物的数量上升^[15]。因此,群落Ⅲ虽然显示出受到一定程度的扰动,但群落的多样性依然保持较高的水平;群落Ⅳ所在区域有航道通过,4个群落中其包含种类最少,多样性水平最低。航道建设和疏浚工程往往会使底栖生境彻底改变,而底栖生境的恢复需要漫长的过程^[16],是对底质环境最为强烈的扰动。因此,群落Ⅳ的稳定性最弱。

致谢:样品鉴定得到了国家海洋局第三海洋研究所江锦祥研究员、李荣冠研究员、郑凤武研究员、郑成祥研究员等的帮助,写作过程中得到了中国水产科学研究院南海水产研究所吴进锋研究员和邱永松研究员的指导,英国东安格利亚大学环境科学院 William W. L. Cheung 博士对英文摘要进行了修改和润色,课题组其它成员在外业调查、样品采集、分析过程中给予帮助,特此致谢。

References:

- [1] Wang Z D , Lian J S , Hu J X , Wei G F. Characteristics of degraded ecosystem in Daya Bay China , Ecologic Science , 2003. 22(4) , 313-320.
- [2] Wang Y S , Wang Z D , Huang L M. Environment changes and trends in Daya Bay in recent 20 years. Journal of Tropical Oceanography. 2004 , 23 (5) , 85-95.
- [3] Kroncke I. Long-term change in North Seabenthos. Sencken bergiana Marit , 1995. 26(1/2) : 73-80.
- [4] Du F Y , Wang X H , Li C H , Zhang H H , Jia X P. Macrobenthic community structure in Daya Bay , South China Sea. ACTA Ecologica Sinica. 2009 , 29(3) , 1091-1098.
- [5] Standardization Administration of China. GB/T 12763. 6—2007 Specifications for oceanographic (survey-Part 6: Marine biological survey) . Beijing: Standards Press of China , 2007.
- [6] Han J , Zhang Z N , Yu Z S. Macrobenthic community structure in the southern and central Bohai Sea , China. Acta Ecologica Sinica , 2004 , 24 (3) , 531-537.
- [7] Yuan W , Zhang Z N , Yu Z S , Deng K. A study of macrofauna in the Northwest of Jiaozhou Bay. Periodical of Ocean University of China , 2006 , 36(Sup.) , 91-97.
- [8] Yuan X Z , Lu J J. Influence of dike on the benthic macro-invertebrate community structure and diversity in the south bank of Changjiang Estuary. Acta Ecologica Sinica , 2001 , 21(10) , 1642-1647.
- [9] Sun Y W , Cao L , Qing Y T , Wang J H , Cheng X S. Analysis of macrobenthos community structure in the adjacent sea area of Changjiang River Estuary. Marine Science Bulletin , 2007 26(2) : 66-70.
- [10] Ellis J R , Rogers S I , Freeman SM. Demersal assemblages in the Irish Sea , St George's Channel and Bristol Channel. Estuarine Coastal and Shelf Science , 2000 , 51(3) : 299-315.
- [11] Plate H M , Shaw K M. Lamtshead P J D. Nematode species abundance patterns and their use in the detection of environment perturbations. Hydrobiologia , 1984 , 118(1) : 59-66.
- [12] Bi H S. The environmental influences on macrobenthos in Jiaozhou Bay. Marine Science , 1997 (1) , 37-40.
- [13] Han J , Zhang Z N , Yu Z S. Macrobenthic species diversity in southern and central Bohai Sea , China. Biodiversity Science , 2003 , 11(1) , 20-27.
- [14] Newell R C , Seiderer L J , Hitchcock D R. The impact of dredging works in coastal waters: a review of the sensitivity to disturbance and subsequent recovery of biological resources on the sea bed. Oceanography and Marine Biology Annual Review , 1998 , 36: 127-178.

- [15] Du F Y , Wang X H , Li C H , Jia X P. The variability in secondary productivity of macrobenthos in Daya Bay ,South China Sea. Chinese Journal of Applied Ecology ,2008 ,19(4) ,873-880.
- [16] Zhong J C , Fan C X. Advance in the study on the effectiveness and environmental impact of sediment dredging. Journal Lake Science ,2007 ,19 (1) ,1-10.

参考文献:

- [1] 王肇鼎,练健生,胡建兴,韦桂峰. 大亚湾生态环境退化现状与特征. 生态科学 2003 ,22(4) :313-320.
- [2] 王友绍,王肇鼎,黄良民. 近20年来大亚湾生态环境的变化及其发展趋势. 热带海洋学报 2004 ,23(5) :85-95.
- [4] 杜飞雁,王雪辉,李纯厚,张汉华,贾晓平. 大亚湾大型底栖动物的群落结构分析. 生态学报 2009 ,29(3) :1091-1098.
- [5] 中国国家标准化管理委员会. GB/T 12763.6—2007 海洋调查规范(第6部分 海洋生物调查). 北京: 中国标准出版社, 2007.
- [6] 韩洁,张志南,于子山. 渤海中、南部大型底栖动物的群落结构. 生态学报 2004 ,24(3) :531-537.
- [7] 袁伟,张志南,于子山,邓可. 胶州湾西北部海域大型底栖动物群落研究. 中国海洋大学学报 2006 ,36(增刊) :91-97.
- [8] 袁兴中,陆健健. 围垦对长江口南岸底栖动物群落结构及多样性的影响. 生态学报 2001 ,21(10) :1642-1647.
- [9] 孙亚伟,曹恋,秦玉涛,王金辉,程祥圣. 长江口邻近海域大型底栖生物群落结构分析. 海洋通报 2007 ,26(2) :66-70.
- [12] 毕洪生. 胶州湾环境对底栖生物的影响. 海洋科学 1997 ,1(1) :37-40.
- [13] 韩洁,张志南,于子山. 渤海中、南部大型底栖动物物种多样性的研究. 生物多样性 2003 ,11(1) :20-27.
- [15] 杜飞雁,王雪辉,李纯厚,贾晓平. 大亚湾大型底栖动物生产力变化特征初探. 应用生态学报 2008 ,19(4) :873-880.
- [16] 钟继承,范成新. 底泥疏浚效果及环境效应研究进展. 湖泊科学 2007 ,19(1) :1-10.

附名录

| | |
|---|---|
| 叶须虫科 PHYLLODOCIDAE | 球小卷吻沙蚕 <i>Micronephrys sphaerocirrata</i> |
| <i>Phyllodocidae</i> und. <i>Phyllodocidae</i> und. | 锥头虫科 ORBINIIDAE |
| 多鳞虫科 POLYNOIDAE | 居虫 <i>Naineris</i> sp. |
| 非拟海鳞虫 <i>Nonparahalosydnus pleiolepis</i> | 单指虫科 COSSURIDAE |
| 方背鳞虫 <i>Lepidonotus squamatus</i> | 单指虫 <i>Cossura</i> sp. |
| 覆瓦哈鳞虫 <i>Harmothoe imbricata</i> | 海稚虫科 SPIONIDAE |
| 哈鳞虫 <i>Harmothoe</i> sp. | 才女虫 <i>Polydora</i> sp. |
| 蠕鳞虫科 ACOETIDAE | 海稚虫 <i>Spiro</i> sp. |
| 黑斑蠕鳞虫 <i>Acoetes melanonota</i> | 腹沟虫 <i>Scolelepis</i> sp. |
| 锡鳞虫科 SIGALIONIDAE | 丝鳃稚齿虫 <i>Prionospio malmsgreni</i> |
| 日本强鳞虫 <i>Sthenolepis japonica</i> | 袋稚齿虫 <i>Prionospio ehlersi</i> |
| 金扇虫科 CHRYSTOPETALIDAE | 稚齿虫 <i>Prionospio pulchra</i> |
| 短卷虫 <i>Bhawania brevis</i> | 稚齿虫 <i>Prionospio cf. sexoculata</i> |
| 海女虫科 HESIONEDAE | 奇异稚齿虫 <i>Parapriionospio pinnata</i> |
| 结海虫 <i>Leocrates chinensis</i> | <i>Spionidae</i> und. <i>Spionidae</i> und. |
| 狭细蛇潜虫 <i>Ophiodromus angustifrons</i> | 长手沙蚕科 MAGELONIDAE |
| Podarkeopsis sp. <i>Podarkeopsis</i> sp. | 栉状长手沙蚕 <i>Magelona crenulifrons</i> |
| 白毛虫科 PILARGIIDAE | 丝鳃虫科 CIRRATULIDAE |
| 花冈钩毛虫 <i>Sigambra hanaokai</i> | 刚鳃虫 <i>Chaetozone</i> sp. |
| 钩毛虫 <i>Sigambra</i> sp. | 细丝鳃虫 <i>Cirratulus filiformis</i> |
| 裂虫科 SYLLIDAE | 毛须蠕虫 <i>Cirriformia filigera</i> |
| <i>Syllidae</i> und. <i>Syllidae</i> und. | 独毛虫 <i>Tharyx</i> sp. |
| 沙蚕科 NEREIDAE | 小头虫科 CAPITELLIDAE |
| 光突齿沙蚕 <i>Leonnates persica</i> | 小头虫 <i>Capitella capitata</i> |
| 异须沙蚕 <i>Nereis heterocirrata</i> | 中蚓虫 <i>Mediomastus</i> sp. |
| 多齿全刺沙蚕 <i>Nectoneanthes multignatha</i> | 异蚓虫 <i>Heteromastus</i> sp. |
| 锤角全刺沙蚕 <i>Nectoneanthes alatopalpis</i> | 背蚓虫 <i>Notomastus latericeus</i> |
| 吻沙蚕科 GLYCERIDAE | 海蛹科 OPHELIIDAE |
| 倦旋吻沙蚕 <i>Glycera convoluta</i> | 阿曼吉虫 <i>Armandia</i> sp. |
| 白色吻沙蚕 <i>Glycera alba</i> | 角海蛹 <i>Ophelina acuminata</i> |
| 角吻沙蚕科 GONIADIDAE | 仙女虫科 AMPHINOMIDAE |
| 寡节甘吻沙蚕 <i>Glycinde gurjanvae</i> | 拟刺虫 <i>Linopherus</i> sp. |
| 齿吻沙蚕科 NEPHTYIDAE | 欧努菲虫科 ONUPHIDAE |
| 双鳃内卷齿蚕 <i>Aglaophamus dibranchis</i> | 智利巢沙蚕 <i>Diopatra chiliensis</i> |
| 叶须内卷齿蚕 <i>Aglaophamus lobatus</i> | 矶沙蚕科 EUNICIDAE |
| 东方内卷齿蚕 <i>Aglaophamus orientalis</i> | 滑指矶沙蚕 <i>Eunice indica</i> |
| 内卷齿蚕 <i>Aglaophamus</i> sp. | 扁平岩虫 <i>Marphysa depressa</i> |
| 寡鳃卷吻沙蚕 <i>Nephys oligobranchia</i> | 索沙蚕科 LUMBRINERIAE |

| | |
|---|--|
| 纳加索沙蚕 <i>Lumbrineris nagae</i> | 岩瓷蟹 <i>Petrolistes</i> sp. |
| 花索沙蚕科 ARABELLIDAE | 鼓虾科 ALPHEIDAE |
| 线沙蚕 <i>Drilonereis filum</i> | 日本鼓虾 <i>Alpheus japonicus</i> |
| 不倒翁虫科 STERNASPIDAE | 梭子蟹科 PORTUNIDAE |
| 不倒翁虫 <i>Sternaspis scutata</i> | 变态蟳 <i>Charybdis variegata</i> |
| 笔帽虫科 PECTINARIDAE | 长脚蟹科 GONEPLACIDAE |
| 笔帽虫 <i>Pectinaria</i> sp. | 太阳强蟹 <i>Eucrate solaris</i> |
| 双栉虫科 AMPHARETIDAE | 扇蟹科 XANTHIDAE |
| <i>Ampharete macrobranchia</i> <i>Ampharete macrobranchia</i> | 特异扇蟹 <i>Xantho distinguendus</i> |
| 等栉虫 <i>Isolda pulchella</i> | 长脚蟹科 GONEPLACIDAE |
| 毛鳃虫科 TRICHOBRACHIDAE | 齿腕拟盲蟹 <i>Typhlocarcinops denticarpes</i> |
| 梳鳃虫 <i>Terebellides stroemii</i> | 豆蟹科 PINNOTHERIDAE |
| 蛰龙介科 TEREBLIIDAE | 模糊新短眼蟹 <i>Neoxenophthalmus obscurus</i> |
| 似蛰虫 <i>Amaeana</i> sp. | 牡蛎科 OSTREIDAE |
| 扁蛰虫 <i>Loimia medusa</i> | 长牡蛎 <i>Crassostrea gigas</i> |
| 树蛰虫 <i>Pista</i> sp. | 拉沙蛤科 LASAEIDAE |
| 长吻海蜘蛛科 NYMPHONIDAE | 寄生蛤 <i>Pseudopythina</i> sp. |
| 日本长吻海蜘蛛 <i>Nynphon japonicum</i> | 猿头蛤科 CHAMIDAE |
| 藤壶科 BALANIDAE | 草莓猿头蛤 <i>Chama fraga</i> |
| 三角藤壶 <i>Balanus trigonus</i> | 樱蛤科 TELLINIDAE |
| 连虫科 BODOTRIIDAE | 西咪樱蛤 <i>Cadella semen</i> |
| 细长连虫 <i>Iphinoe tener</i> | 刀明樱蛤 <i>Moerella culter</i> |
| 针尾连虫科 DIASTYLIDAE | 白樱蛤 <i>Macoma</i> sp. |
| 三叶针尾连虫 <i>Diastylis tricincta</i> | 双带蛤科 SEMELIDAE |
| 长尾虫科 ASPEUDIDAE | 侧底理蛤 <i>Theora lata</i> |
| 日本长尾虫 <i>Aspeudes nipponicus</i> | 帘蛤科 VENERIDAE |
| 畸形链肢虫 <i>Sphyrapus anomalus</i> | 粗帝汶蛤 <i>Timoclea scabra</i> |
| 仿原足虫科 PARATANAIDAE | 美叶雪蛤 <i>Clausinella calophylla</i> |
| 细螯原足虫 <i>Leptochelia dubia</i> | 波纹巴非蛤 <i>Paphia undulata</i> |
| 巨颚水虱科 GNATHIIDAE | 帽贝科 PATELLIDAE |
| 锯齿巨颚水虱 <i>Gnathia dentata</i> | 帽贝 <i>patelloidea</i> sp. |
| 拟背尾水虱科 PARANTHURIDAE | 锥螺科 TURRITELLIDAE |
| 日本拟背尾水虱 <i>Paranthura japonica</i> | 棒锥螺 <i>Turritella bacillum</i> |
| 双眼钩虾科 AMPELISCIDAE | 壳蛞蝓科 PHILINIDAE |
| 美原双眼钩虾 <i>Ampelisca miyaraensis</i> | 经氏壳蛞蝓 <i>Philine kinglipini</i> |
| 博氏双眼钩虾 <i>Ampelisca bocki</i> | 沙菜科 HYPNEACEAE |
| 短角双眼钩虾 <i>Ampelisca brevicornis</i> | 鹿角沙菜 <i>Hypnea cervicornis</i> |
| 利尔钩虾科 LILJEBORGIIIDAE | 丛柳珊瑚科 PLEXAURIDAE |
| 中华利尔钩虾 <i>Liljeborgia sinica</i> | 丛柳珊瑚 <i>Euplexaura</i> sp. |
| 弯指伊氏钩虾 <i>Idunella curvidactyla</i> | 柄涡科 STYLOCHEIDAE |
| 钩虾科 GAMMARIDAE | 今岛柄涡虫 <i>Stylochus ijimai</i> |
| 塞切尔泥钩虾 <i>Eriopisella sechellensis</i> | 纽形动物 NEMERTINEA |
| 裸蠃虫科 COROPHIIDAE | 纽虫 <i>Nemertinea</i> und. |
| 好斗埃蠃 <i>Erichonius pugnax</i> | 革囊星虫科 PHASCOLOSOMATIDAE |
| 日本大鳌蠃 <i>Grandidierella japonica</i> | 革囊星虫 <i>Phascolosoma</i> sp. |
| 凯特螺蠃 <i>Corophium kitamorii</i> | 草苔虫科 BUGULIDAE |
| 薄片螺蠃 <i>Corophium lamellatum</i> | 多室草苔虫 <i>Bugula neritina</i> |
| 三齿螺蠃 <i>Corophium tridentium</i> | 阳遂足科 AMPHIURIDAE |
| 上野螺蠃 <i>Corophium uenoi</i> | 倍棘蛇尾 <i>Amphioplus</i> sp. |
| 杯尾螺蠃 <i>Corophium</i> sp. | 克氏三齿蛇尾 <i>Amphiodia (Amphisina) clarki</i> |
| 夏威夷亮钩虾 <i>Photis hawaiensis</i> | 近辐蛇尾 <i>Ophiactis affinis</i> |
| 地钩虾科 PODOCERIDAE | 裂星海胆科 SCHIZASTERIDAE |
| 瘤突地钩虾 <i>Podocerus tuberculatus</i> | 凹裂星海胆 <i>Schizaster lacunosus</i> |
| 麦杆虫科 CAPRELLIDAE | 文昌鱼科 AMPHIOXIDAE |
| 圆鳃麦杆虫 <i>Caprella penantis</i> | 短刀偏文昌鱼 <i>Asymmevron culfellum</i> |
| 瓷蟹科 PORCELLANIDAE | |